

ارزیابی آلودگی فلزات سنگین در آب و رسوب زهکش قره باع (جنوب شرق شیراز)

الهام بی‌کینه^۱، فرید مُر^۲، بهنام کشاورزی^۳، وحیده شیخی^۴

۱- دانش آموخته کارشناسی ارشد زمین شناسی زیست محیطی، بخش علوم زمین، دانشکده علوم پایه، دانشگاه شیراز.

elhambikineh1368@gmail.com

۲- استاد بخش علوم زمین، دانشکده علوم پایه، دانشگاه شیراز

۳- استادیار بخش علوم زمین، دانشکده علوم پایه، دانشگاه شیراز

۴- دانشیار زمین شناسی زیست محیطی، بخش علوم زمین، دانشکده علوم پایه، دانشگاه شیراز

تاریخ دریافت: ۹۳/۲/۲۷ تاریخ تصویب: ۹۳/۶/۳۱

چکیده

در این پژوهش، زهکش قره باع در جنوب شرقی شهر شیراز مطالعه شده است. اهمیت این زهکش به دلیل تخلیله پساب شهرک صنعتی بزرگ شیراز، آب برگشتی کشاورزی، و فاضلاب‌های شهری روزتاهای بالادست و در نهایت ورود آن به دریاچه مهارلو است. بنابراین، بررسی غلظت فلزات سنگین و ویژگی‌های فیزیکو شیمیایی آب و رسوب این زهکش ضروری به نظر می‌رسد. نتایج حاصل، روند کاهشی فراوانی فلزات سنگین در نمونه‌های آب را به صورت $\text{Zn} > \text{Ni} > \text{Cu} > \text{Pb} > \text{Mo} > \text{As} > \text{Co} > \text{Cd}$ و در نمونه‌های رسوب را به صورت $\text{Cr} > \text{Ni} > \text{Zn} > \text{Cu} > \text{Pb} > \text{Mo} > \text{As} > \text{Co} > \text{Pb} > \text{Mo} > \text{As} > \text{Cd}$ نشان داد. به منظور برآورد شدت آلودگی، از شاخص‌های زمین شیمیایی ضریب غنی‌شدگی، شاخص زمین‌اباشت، ضریب آلودگی و درجه آلودگی استفاده شد. براساس این شاخص‌ها، رسوبات زهکش قره باع نسبت به عناصر مولیبدن، روی، نیکل، کروم، و در بعضی از ایستگاه‌ها نسبت به عنصر سرب آلودگی متوسط تا شدید دارند. از ضریب همبستگی و تحلیل مؤلفه اصلی برای یافتن ارتباط بین عناصر و نیز تعیین منشأ عناصر (زمین‌زاد یا انسان‌زاد) استفاده شد. نتایج حاصل از تحلیل مؤلفه اصلی نمونه‌های رسوب نشان می‌دهد که عنصر نیکل بیشتر می‌نفع زمین‌زاد و از ترکیب زمین شیمیایی سنگ بستر ناشی می‌شود، در حالی که سایر عناصر (به استثنای کروم) دارای منشأ انسان‌زاد هستند. عنصر کروم در منطقه مورد مطالعه دارای هر دو منشأ زمین‌زاد و انسان‌زاد است.

واژگان کلیدی: تخلیله پساب، فلزات سنگین، شاخص‌های زمین شیمیایی، زهکش قره باع.

مقدمه

آبی در نتیجه ورود مواد انسان‌زاد و تغییر الگوی مصرف به طور قابل توجهی افزایش یافته است. رسوبات سامانه‌های آبگین منبع اصلی عناصری است که در صورت تغییر شرایط زیست محیطی و ایجاد شرایط مساعد، بار دیگر متحرک شده و وارد فاز آبی می‌شوند. بنابراین، پایش غلظت و توزیع فلزات سنگین در سامانه‌های آب و رسوب برای مدیریت و ارزیابی آلودگی امری ضروری است. زهکش قره باع در معرض ورود پساب‌های صنعتی شهرک صنعتی بزرگ شیراز، آب برگشتی کشاورزی اراضی اطراف، و فاضلاب‌های شهری روزتاهای بالادست است. این زهکش از چشممه آهکی پیربتو شروع، و پس از گذشتن از مجاورت شهرک صنعتی بزرگ شیراز، تا پل

آلودگی بوم‌سامانه‌های زمین با فلزات و شبه فلزات بالقوه سمی مشکلی جهانی است که با افزایش جمعیت و به تبع آن افزایش تقاضا برای منابع طبیعی (آب، غذا و انرژی) و کالاهای فلزی پیوسته در حال افزایش بوده است. اثرات بهداشتی ناشی از آلودگی به فلزات و شبه فلزات سنگین از راه ورود این عناصر به بدن از مسیرهای تنفس، غذا و آب آشامیدنی، طولانی مدت بوده و به شکل‌های گوناگونی خود را آشکار می‌کند. بسیاری از پژوهشگران بر این باورند که آلوده شدن محیط زیست به فلزات سنگین به دلیل سمناکی و زیست اباحت این عناصر در اندامگان‌های زیستی مشکلی جدی است (Idris 2008) از نیمة دوم قرن بیستم، ورود فلزات سنگین به بوم سامانه

قره باع از مجاورت شهرک صنعتی بزرگ شیراز تا دریاچه مهارلو انجام شد. با توجه به نمونه برداری در فصل خشک و نبودن آب در تمام طول زهکش، در مجموع تعداد ۱۶ نمونه رسوب (S1 تا S16) و ۱۰ نمونه آب سطحی (S1 تا S7) در مهرماه ۹۲ برداشته شد. در (شکل ۱) منطقه مورد مطالعه و موقعیت نقاط نمونه برداری مشخص شده است. منابع احتمالی آلودگی هر ایستگاه نیز در (جدول ۱) ارائه شده است.

آماده سازی نمونه ها

نمونه های آب به دو گروه تقسیم شد. یک بخش از نمونه ها با استفاده از پمپ خلا و کاغذ های صافی $0.45\text{ }\mu\text{m}$

فیلتر شدند تا مواد معلق جدا شود. سپس با چند قطره HNO_3 غلیظ مرک، اسیدی ($\text{pH} < 2$) شدند. از این نمونه ها برای تعیین غلظت عناصر حل شده استفاده شد. از بخش فیلتر نشده نیز برای تعیین غلظت آنیون و کاتیون های حل شده استفاده شد. نمونه ها تا زمان انجام تجزیه در دمای 4°C در یخچال نگهداری شدند آزمایشگاه زاگرس آبشناس فارس، و غلظت فلزات سنگین در آزمایشگاه مطالعات مواد معدنی زرآزمایی تهران با استفاده از روش ICP-MS اندازه گیری شدند. اسیدایی (pH)، هدایت الکتریکی (EC)، و کل جامدات حل شده (TDS) نمونه های آب در محل نمونه برداری با استفاده از water proof portable meter (PCD650) اندازه گیری و ثبت شد. نمونه های رسوب نیز پس از خشک شدن در هوای اتاق، توسط هاون به آرامی پودر، و کسر اندازه مورد نیاز (2 mm) برای تعیین پارامترهای فیزیکوشیمیایی و $63\text{ }\mu\text{m}$ برای تجزیه شیمیایی) یا الک جدا شد. غلظت عناصر در نمونه های رسوب با استفاده از روش ICP-OES در آزمایشگاه مواد معدنی زرآزمایی تهران اندازه گیری شد. از جمله پارامترهای فیزیکوشیمیایی رسوب که مورد مطالعه قرار گرفت، می توان به درصد ماده آلی، درصد کربنات و ظرفیت تبادل کاتیونی اشاره کرد. درصد ماده آلی و کربنات با استفاده از روش اندازه گیری افت متواتی وزن در اثر احتراق (Loss on Ignition) تعیین شدند (Heiri & Lotter 2001).

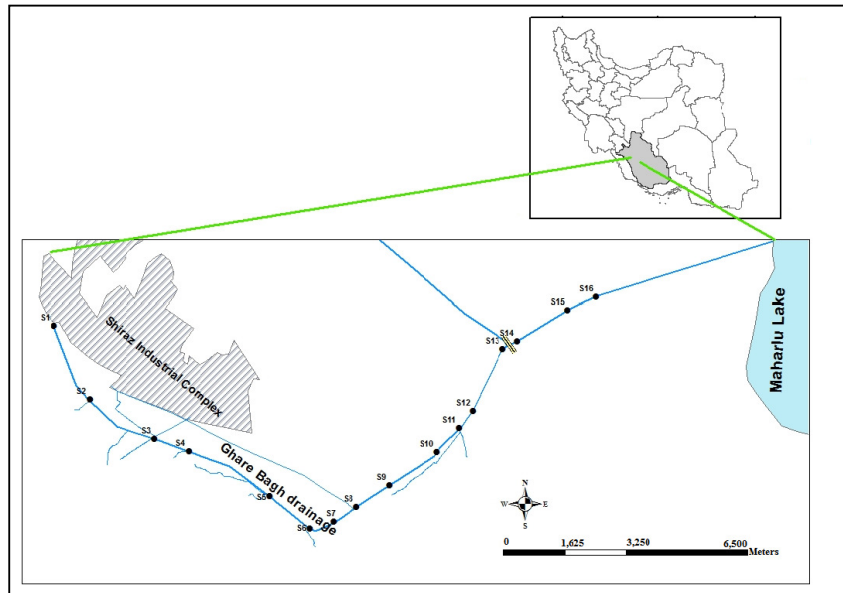
فسا ادامه می یابد. در این محل زهکش سلطان آباد با فاضلاب های شهری و خانگی همراه خود، به زهکش قره باع می پیوندد و هر دو تبدیل به یک شاخه شده و به دریاچه مهارلو که دریاچه ای تفریحی و میزبان برخی گونه های جانوری است تخلیه می شوند. کشاورزان نیز در طول مسیر از آب زهکش قره باع برای آبیاری مزارع و زمین های کشاورزی اطراف استفاده می کنند. بنابراین، با توجه به استفاده از آب زهکش قره باع برای مصارف کشاورزی و تخلیه نهایی این زهکش به دریاچه تفریحی مهارلو، تعیین غلظت فلزات سنگین در آب و رسوب این زهکش، کمک شایان توجیهی به مدیریت صحیح و کاهش آلودگی و همچنین، جلوگیری از وارد شدن آسیب های جبران ناپذیر به بوم سامانه مهارلو، می کند (شاکری و مدبری ۱۳۹۰). نقش شهرک صنعتی بزرگ شیراز در آلودگی آب، خاک و رسوب دشت قره باع را بررسی و به این نتیجه رسیدند که پساب شهرک صنعتی بزرگ شیراز که در زهکش قره باع تخلیه می شود، نقش مهمی در آلودگی آب و خاک محدوده شهرک با فلزات سنگین دارد. هدف از این مطالعه، تعیین غلظت فلزات سنگین در آب و رسوب زهکش قره باع، به منظور مشخص شدن بار آلودگی وارد از زهکش قره باع به دریاچه مهارلو، برآورد شدت آلودگی و تعیین منشأ احتمالی عناصر است.

مواد و روش ها

zechesh قره باع در دشت قره باع در حوضه آبریز مهارلو و جنوب شرقی شهر شیراز بین طول های جغرافیایی $52^{\circ}25'$ إلى $52^{\circ}05'$ عرض های جغرافیایی $29^{\circ}25'$ إلى $29^{\circ}35'$ شمالی قرار دارد (شکل ۱). طول این زهکش در حدود ۱۸ تا ۲۰ کیلومتر، عمق متوسط آن ۴ متر و پهنای متوسط آن ۱۲ متر است. شب این زهکش به طور متوسط 0.05°C درجه است. مهم ترین واحد های چینه شناختی دارای بیرون زدگی در محدوده مطالعاتی قره باع، سازنده های آسماری - جهرم، رازک، آغازاری، بختیاری، و نهشته های دوران چهارم هستند.

نمونه برداری

به منظور مطالعه آلودگی آب سطحی و رسوبات زهکش قره باع، نمونه برداری به صورت خطی در طول زهکش



شکل ۱- موقعیت نقاط نمونه برداری از آب و رسوب زهکش قره باع

جدول ۱- مختصات جغرافیایی و منابع احتمالی آلدگی ایستگاه‌های نمونه‌برداری

ایستگاه‌ها	X (m)	Y (m)	ارتفاع (m)	منابع احتمالی آلدگی
۱	۶۴۶۶۱۹	۳۲۶۳۲۴۵	۱۴۸۸	صنعتی
۲	۶۴۷۵۷۹	۳۲۶۱۳۰۹	۱۴۹۶	کشاورزی
۳	۶۴۹۲۹۹	۳۲۶۰۲۸۸	۱۴۸۳	صنعتی - کشاورزی
۴	۶۰۰۲۰۰	۳۲۵۹۹۶۵	۱۴۸۳	کشاورزی
۵	۶۰۲۳۴۹	۳۲۵۸۷۶۶	۱۴۸۲	کشاورزی
۶	۶۰۳۴۲۲	۳۲۵۷۹۳۰	۱۴۸۳	کشاورزی
۷	۶۵۴۰۰۹	۳۲۵۸۱۰۳	۱۴۷۹	-
۸	۶۵۴۶۷۱	۳۲۵۸۴۹۳	۱۴۸۱	صنعتی
۹	۶۰۵۵۴۰	۳۲۵۹۰۵۴	۱۴۸۹	-
۱۰	۶۵۶۷۹۲	۳۲۵۹۹۴۰	۱۵۰۳	-
۱۱	۶۵۷۳۸۸	۳۲۶۰۵۷۳	۱۴۸۶	کشاورزی
۱۲	۶۵۷۷۶۰	۳۲۶۱۰۰۹	۱۴۷۸	-
۱۳	۶۵۸۵۴۲	۳۲۶۲۶۴۴	۱۴۷۰	ترافیک و رفت و آمد وسایل نقلیه (پل فسا)
۱۴	۶۵۸۹۲۸	۳۲۶۲۸۴۰	۱۴۸۴	فاضلاب شهری (محل پیوستن زهکش سلطان آباد)
۱۵	۶۶۰۲۰۶	۳۲۶۳۶۶۶	۱۴۷۶	-
۱۶	۶۶۱۰۳۹	۳۲۶۴۰۱۳	۱۴۸۴	-

شاخص‌های زمین‌شیمیایی برای ارزیابی آلدگی به منظور ارزیابی شدت آلدگی رسوبات به فلزات سنگین شاخص‌های زمین‌شیمیایی مختلفی وجود دارد. در این

برای تعیین ظرفیت تبادل کاتیونی نمونه‌های رسوب از روش ۹۰۸۱ A سازمان حفاظت محیط زیست آمریکا استفاده شد (US EPA, 1998).

اعمال شد. این شاخص با استفاده از فرمول زیر محاسبه می شود:

$$I_{geo} = \log_2 \left[\frac{C_n}{1.5B_n} \right] \quad \text{رابطه (۲)}$$

که در آن، C_n غلظت اندازه گیری شده فلز n و B_n غلظت زمینه عنصر n (در این مطالعه شیل میانگین) است. ضریب $1/5$ نیز برای به حداقل رساندن تأثیر احتمالی غلظت فلز در ترکیب زمینه که از تغییرات سنگ شناختی در رسوبات است و نیز حذف تأثیرات انسانزاد بسیار کوچک استفاده می شود (Stoffers & Glasby 1986).

براساس ردبهندی مولر (Muller 1969) اگر $I_{geo} < 0$ ، رسوب نآلوده، $0 < I_{geo} < 1$ ، نآلوده تا آلودگی متوسط، $1 < I_{geo} < 2$ ، آلودگی متوسط، $2 < I_{geo} < 3$ ، آلودگی بالا، $3 < I_{geo} < 4$ ، آلودگی بالا تا آلودگی بسیار بالا و $I_{geo} > 4$ ، آلودگی بسیار بالا است.

ضریب آلودگی و درجه آلودگی

این ضریب توسط هاکتسون (Hakanson 1980) ارائه شده است و از رابطه زیر تعیین می شود:

$$C_f = \frac{C_n}{B_n} \quad \text{رابطه (۳)}$$

در این رابطه نیز C_n غلظت عنصر تجزیه شده n در نمونه های مورد مطالعه، و B_n غلظت زمینه شیمیایی عنصر n (شیل میانگین) است.

مجموع ضرایب آلودگی آلاینده های مورد مطالعه، درجه کلی آلودگی رسوب را بیان می کند که به آن درجه آلودگی هاکتسون گفته می شود و از رابطه زیر محاسبه می شود:

$$C_d = \sum_{i=1}^n C_f \quad \text{رابطه (۴)}$$

براساس ردبهندی هاکتسون (Hakanson 1980) اگر $C_f < 1$ باشد، ضریب آلودگی پایین، $1 \leq C_f < 3$ ، ضریب آلودگی متوسط، $3 \leq C_f < 6$ ، ضریب آلودگی قابل توجه، و $C_f \geq 6$ ، ضریب آلودگی بسیار بالا است.

همچنین، $C_d < 6$ ، درجه آلودگی پایین، $6 \leq C_d < 12$ ، درجه آلودگی متوسط؛ $12 \leq C_d < 24$ ، درجه آلودگی قابل توجه، و $C_d \geq 24$ ، درجه آلودگی بسیار بالا را نشان می دهد.

پژوهش، برای مطالعه آلودگی از شاخص های ضریب غنی شدگی (Enrichment Factor)، شاخص زمین اباحت (Geoaccumulation Index)، ضریب و درجه آلودگی (Contamination Factor and Contamination Degree) استفاده شد.

ضریب غنی شدگی

ضریب غنی شدگی فلزات سنگین یکی از رویکردهای رایج در ارزیابی اثرهای انسانزاد بر روی رسوبات است (Yongming 2006) و از رابطه (۱) محاسبه می شود:

$$EF = \frac{(Ci / Cn)sample}{(Ci / Cn)background} \quad \text{رابطه (۱)}$$

که در آن، $(Ci/Cn)sample$ نسبت غلظت عنصر i به عنصر مرجع در نمونه و $(Ci/Cn)background$ نسبت غلظت عنصر i به عنصر مرجع در نمونه زمینه است. رایج ترین عناصر مرجع مورد استفاده، شامل عناصری مانند Fe, Al, Mn, Sc, Si, Cs است.

انتخاب زمینه نیز نقش مهمی در محاسبه این ضریب و تفسیر داده های زمین شیمیایی بازی می کند و معمولاً از شیل میانگین یا پوسته قاره ای بالایی به عنوان زمینه استفاده می شود (Olivares-Rieumont 2005). در این مطالعه از آلومینیم به دلیل ماهیت زمین شیمیایی، تغییرات بسیار ناچیر و تحرک کمی که در محیط زمین شیمیایی از خود نشان می دهد (Eby 2004).

به عنوان عنصر مرجع و از شیل میانگین به عنوان زمینه استفاده شد.

براساس ردبهندی Acevedo-Figueroa (2006) اگر $EF < 1$ باشد، فاقد غنی شدگی، $1 \leq EF < 3$ ، غنی شدگی کم، $3 \leq EF < 5$ ، غنی شدگی متوسط، $5 \leq EF < 10$ ، غنی شدگی نسبتاً شدید، $10 \leq EF < 25$ ، غنی شدگی شدید $25 \leq EF < 50$ ، غنی شدگی خیلی شدید، و $EF \geq 50$ ، غنی شدگی فوق العاده شدید است.

شاخص زمین اباحت

این شاخص اولین بار توسط مولر (Muller 1969) برای تعیین و توصیف آلودگی فلز در رسوبات ارائه شده است و بعدها توسط پژوهشگران دیگر، تصحیحاتی روی آن

روش‌های آماری

در این مطالعه از ضریب همبستگی اسپیرمن (Spearman) و تحلیل مؤلفه اصلی (PCA) با چرخش واریمکس و ویژه مقدارهای بزرگتر از ۱، برای تحلیل داده‌ها استفاده شد.

تجزیه و تحلیل‌های آماری، با استفاده از نرم‌افزار SPSS 17.0 انجام شد.

بحث و نتایج

ویژگیهای آب زهکش قره باع

توصیف آماری یون‌ها، هدایت الکتریکی (EC)، (TDS) اسیدینگی (pH)، و کل جامدات حل شده نمونه‌های آب زهکش قره باع در جدول ۲ و توصیف آماری فلزات بالقوه سمی در جدول ۳ ارائه شده است. میانگین pH در نمونه‌های آب سطحی ۸/۰۸ و گستره آن از ۷/۳۶ تا ۸/۸۱ است، که نشان دهنده ماهیت قلیایی نمونه‌های آب است. تغییر هدایت الکتریکی در نمونه‌های آب سطحی از ۳۲/۶۰ تا ۵۶/۳۲ و میانگین ۱۸/۰۸ میلیزیمنس بر سانتی‌متر اندازه‌گیری شده است.

بالا بودن هدایت الکتریکی آب زهکش می‌تواند ناشی از فعالیت‌های صنعتی و کشاورزی در منطقه باشد (Banerjee & Gupta 2013) روند کاوشی میانگین

غلظت کاتیون‌های اصلی نمونه‌های آب زهکش قره باع به صورت سدیم < منیزیم < کلسیم < پتاسیم، و ترتیب غلظت آنیون‌ها در نمونه‌های آب سطحی به صورت کلر < سولفات < بیکربنات < نیترات < فسفات است.

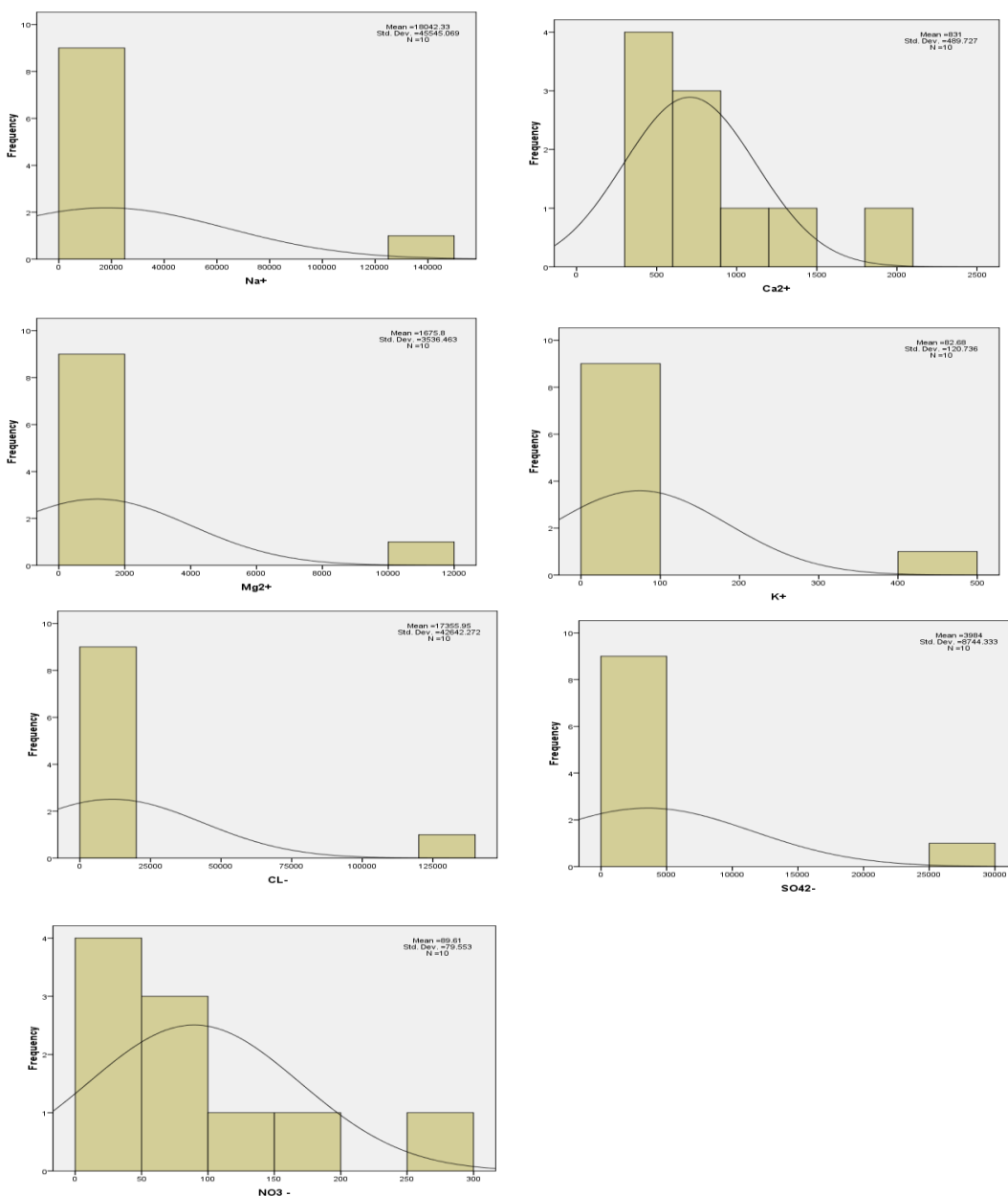
بالا بودن غلظت سدیم، کلسیم، منیزیم، پتاسیم، کلر، سولفات، و نیترات، و همچنین توزیع غیرنرمال آنها (شکل ۲) نشان دهنده منشأ انسانزد این عناصر (پساب‌های صنعتی، فاضلاب‌های شهری، و جریان برگشتی کشاورزی) در منطقه است، اما عواملی مانند نفوذ آب شور، تبخیر، و وجود سازند تبخیری به عنوان سنگ کف زهکش، نباید نادیده گرفته شود.

توزیع نرمال فسفات و بیکربنات در آب زهکش (شکل ۳) نشان می‌دهد که منبع انسانزد خاصی در غلظت این آنیون‌ها تأثیر نداشته و غلظت آنها بیشتر ناشی از عوامل طبیعی است.

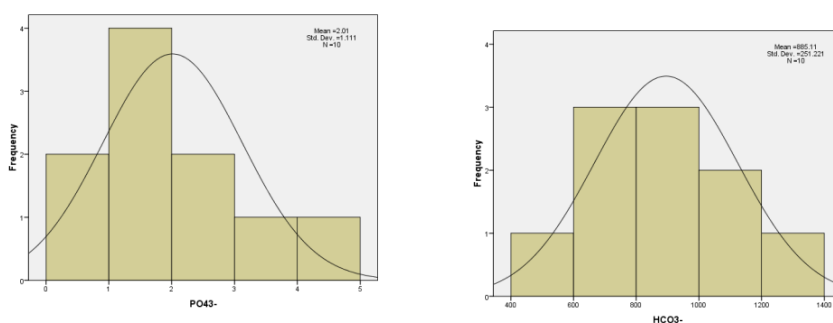
آب زهکش قره باع در نمودار پایپر (شکل ۴) نشان می‌دهد که بیشتر نمونه‌ها به جرچند مورد از نوع کلروره و در رخساره سدیک-پتاسیک قرار دارند. تیپ آب در نمونه‌های S13 تا S16 (پل فسا و پایین دست آن) به سمت کلسیم-منیزیم و سولفات‌هه تغییر می‌کند.

جدول ۲- غلظت یون‌ها (ppm)، هدایت الکتریکی (mS/cm)، کل جامدات حل شده (ppm) و pH نمونه‌های آب زهکش قره باع

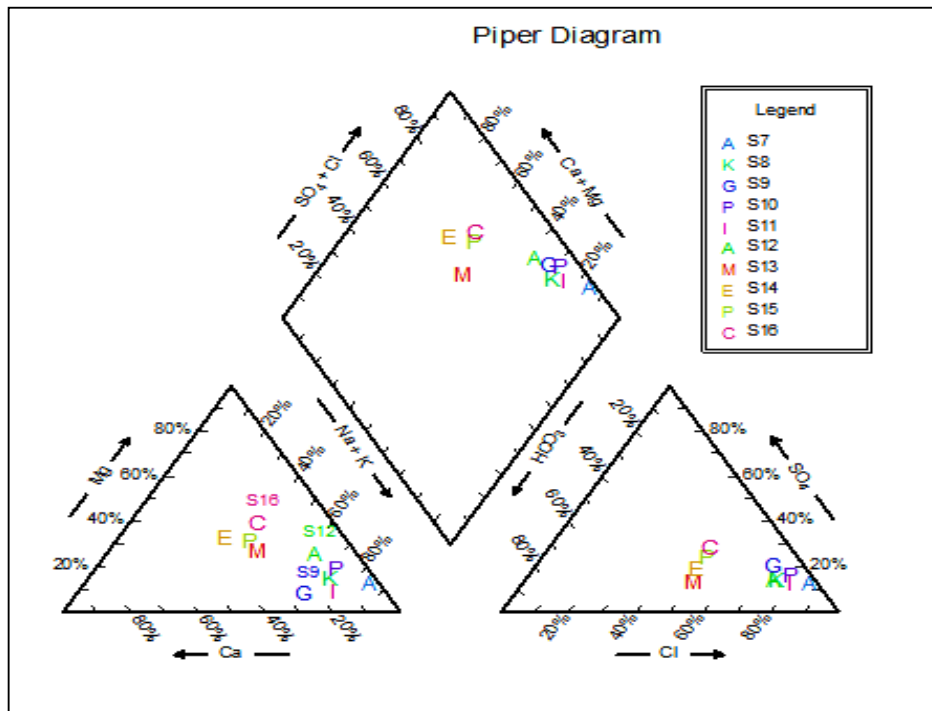
parameters	K ⁺	Na ⁺	Mg ²⁺	Ca ²⁺	SO ₄ ²⁻	CL ⁻	HCO ₃ ⁻	PO ₄ ³⁻	NO ₃ ⁻	pH	EC	TDS
Min.	30.42	525.090	300	350	360	887.500	427.0	0.55	14.60	7.36	3.568	3698.54
Max.	424.3	147416	11700	2000	28800	138450	1214	4.08	262.1	8.81	32.60	329217
Mean	227.3	73970.6	6000	1175	14580	69669.0	820.4	2.32	138.4	8.08	18.08	166458
Median	43.1	4392.2	444	700	1440	5325	918.1	1.72	58.34	8.10	17.38	14243
Kurtosis	9.68	9.89	9.78	3.21	9.84	9.88	-0.511	-0.45	1.28	-1.83	-1.52	9.88
Skewness	3.10	3.14	3.11	1.71	3.13	3.14	-0.36	0.61	1.38	0.02	0.18	3.14
Standard deviation	14.67	3057.02	357	296	742	3160.29	199.6	1.10	86.29	0.50	8.44	7289.36



شکل ۲- توزیع غیرنرمال عناصر سدیم، کلسیم، منیزیم، کلر، سولفات، نیترات در آب زهکش قره باغ



شکل ۳- توزیع نرمال بی کربنات و فسفات در آب زهکش قره باغ



شکل ۴- نمونه‌های آب زهکش قره باع در نمودار پاپر

آبیاری (Pratt 1972) مقایسه شدند (جدول ۳). مقایسه غلظت فلزات سنگین با استاندارد آب آبیاری نشان می‌دهد که تمام عناصر در همه نمونه‌ها (به استثنای مولیبدن در برخی نمونه‌ها) غلظت‌هایی کمتر از استاندارد آب آبیاری دارند. احتمالاً pH قیایی آب زهکش شرایط را برای تهی‌شدگی آب از عناصر، نسبتاً مطلوب کرده است، زیرا بیشتر عناصر جزئی در محیط‌های به شدت اسیدی به سادگی حل شده و در شرایط pH خشی تا قیایی تهشیش می‌شوند (Chakrapani 2002)، مولیبدن شرایط تهشیشی برخلاف سایر عناصر مورد بررسی است.

فراآوانی فلزات سنگین در نمونه‌های آب عبارتند از: Zn > Ni > Cu > Pb > Mo > As > Co > Cd غلظت کروم در نمونه‌های آب زهکش قره باع زیر حد آشکارسازی دستگاه بود. دلیل این امر می‌تواند این باشد که در طبیعت Cr³⁺ بسیار کمتر از Cr⁶⁺ رخ می‌دهد و Cr³⁺ نیز تنها در محیط بسیار اسیدی، اندکی متحرک است و در pH ۵/۵ تقریباً به طور کامل نهشته می‌شود (Kabata-Pendias 2001). بنابراین، در زهکش قره باع که میانگین pH آن بیش از ۵/۵ است، کروم در آب پایدار نیست . غلظت عناصر در نمونه‌های آب با استاندارد آب

جدول ۳- غلظت فلزات بالقوه سمی (ppb) در نمونه‌های آب زهکش قره باع

parameters	As	Cd	Co	Cr	Cu	Mo	Ni	Pb	Zn
Min.	5.48	0.06	1.32	<50	29.93	4.83	45.40	19.52	107.46
Max.	17.38	0.82	3.26	<50	41.43	34.55	57.33	40.25	172.83
Mean	9.80	0.40	2.00	-	35.57	12.08	50.92	29.71	138.33
Median	9.13	0.41	1.63	-	35.61	8.41	50.96	28.55	139.28
Kurtosis	0.85	1.03	-1.19	-	-1.88	4.18	-0.54	-0.01	-0.66
Skewness	1.06	0.52	0.86	-	-0.01	1.97	0.48	0.29	0.30
Standard deviation	3.68	0.21	0.76	-	4.21	9.06	4.08	6.27	22.25

این دو عنصر با مس و مولیبدن ($r>0.564$, $p<0.01$) وجود دارد که می‌تواند به دلیل منشأ مشترک این عناصر باشد.

همبستگی خوبی نیز بین نیترات و فسفات ($r=0.673$, $p<0.05$) وجود دارد. با توجه به افزایش غلظت این دو یون در نمونه S13، این همبستگی می‌تواند نشاندهنده منبع مشترک این دو یون (احتمالاً فعالیت‌های کشاورزی) باشد. همچنانی همبستگی مثبتی بین مس با فسفات وجود دارد که احتمالاً ناشی از حضور عنصر مس به صورت فسفات حل شده در نمونه‌های آب زهکش قره باغ است (Rashed & Awadallah 1995).

از ضریب همبستگی برای تعیین روابط بین عناصر استفاده می‌شود. نتایج ضریب همبستگی نمونه‌های آب زهکش در جدول ۴ ارائه شده است. ضریب همبستگی به دست آمده بین عناصر و کل جامدات حل شده نشان می‌دهد که کلر، سولفات، و کل جامدات حل شده همبستگی خوبی با یکدیگر دارند ($r>0.821$, $p<0.01$). بنابراین، افزایش کل جامدات حل شده به دلیل افزایش انحلال این یون‌ها در آب است. همبستگی مثبت بین نیکل و کالت ($r=0.661$, $p<0.05$) می‌تواند به دلیل خواص زمین شیمیایی مشابه این عناصر و قرار گرفتن آنها در گروه یونهای نامتحرك باشد. همچنانی، همبستگی خوبی بین

جدول ۴- نتایج ضریب همبستگی بین عناصر، یون‌ها و کل جامدات حل شده در نمونه‌های آب زهکش قره باغ

	TDS	NO_3^-	PO_4^{3-}	Cl^-	SO_4^{2-}	Zn	Pb	Ni	Mo	Cu	Co	Cd	As
As	0.515	-0.103	-0.370	0.468	0.304	-0.321	0.018	-0.200	-0.152	-0.018	0.115	0.142	1
Cd	0.006	0.560	0.098	0.138	-0.022	0.123	0.148	-0.025	-0.086	0.394	-0.055	1	
Co	-0.030	-0.152	0.103	-0.135	-0.201	-0.018	-0.321	0.661*	0.891**	0.612	1		
Cu	-0.467	0.358	0.600	-0.425	-0.608	0.382	-0.406	0.794**	0.552	1			
Mo	-0.261	0.079	0.345	-0.351	-0.413	0.176	-0.006	0.564	1				
Ni	-0.273	-0.152	0.285	-0.265	-0.304	0.479	-0.697*	1					
Pb	-0.067	0.491	0.164	-0.105	-0.134	0.018	1						
Zn	-0.321	0.273	0.358	-0.271	-0.255	1							
SO_4^{2-}	0.833**	-0.584	-0.985**	0.821**	1								
Cl^-	0.972**	-0.597	-0.843**	1									
PO_4^{3-}	-0.879**	0.673*	1										
NO_3^-	-0.673*	1											
TDS	1												

۲۸/۹ درصد با میانگین ۲۰/۹ درصد است. درصد کربنات مشاهده شده می‌تواند بازتابنده ماهیت آهکی سازندهای زمین‌شناسخی منطقه باشد.

ظرفیت تبادل کاتیونی در نمونه‌های رسوب گسترهای بین ۹/۱ تا ۲۰/۱ $\text{cmol}^{(+)}\text{/kg}$ را نشان می‌دهد. پایین بودن CEC رسوب حاکی از آن است که درصد کمی از فلزات به صورت یونهای جذب سطحی شده حضور دارند.

روندهای فراوانی میانگین فلزات سنگین در رسوبات زهکش قره باغ به شرح زیر است:

$\text{Cr} > \text{Ni} > \text{Zn} > \text{Cu} > \text{Co} > \text{Pb} > \text{Mo} > \text{As} > \text{Cd}$ مقایسه میانگین غلظت فلزات فلزات سنگین با مقادیر مشابه در شیل میانگین (Turekian & Wedepohl 1961) نشان

ویژگیهای رسوب زهکش قره باغ

توصیف آماری فلزات سنگین و ویژگیهای فیزیک و شبیه‌سازی نمونه‌های رسوب زهکش قره باغ در جدول ۵ ارائه شده است. بیشینه و کمینه ماده آلی در نمونه‌های رسوب به ترتیب ۱۸/۲ و ۴/۸ درصد اندازه گیری شده است. میانگین ماده آلی نمونه‌های رسوب در زهکش ۱۱/۲ درصد است. درصد بالای ماده آلی در رسوبات احتمالاً به دلیل تخلیه پساب صنایع و آب برگشتی کشاورزی به درون زهکش است که می‌تواند بر روی غلظت فلزات سنگین در رسوبات نیز تأثیر داشته باشد (Suthar & Nema & Chabukdhara 2009) تغییرات درصد کربنات نمونه‌های رسوب از ۱۲/۷ تا

نمونه S₁₄ (ورودی زهکش سلطان آباد)، و سرب (روی ۲۲۷ ppm) و روی (۳۳ ppm) در نمونه S₁₅ (پایین دست زهکش سلطان آباد) مشاهده شد.

بنابراین، پساب‌های صنعتی، آب برگشتی کشاورزی، و فاضلاب شهری منابع آلینده رسوبات زهکش قره باع هستند.

می‌دهد که عناصر آرسنیک، کادمیم، کبالت، مس، و سرب غلظت پایین‌تر و عناصر کروم، نیکل، مولیبدن، و روی غلظت بالاتری نسبت به شیل میانگین دارند. بیشینه غلظت نیکل (۱۴۲ ppm) در نمونه S₅ (ورودی زهکش کشاورزی)، مولیبدن (۱۹/۰۰ ppm) در نمونه S₈ (محل تخلیه پساب شهرک صنعتی)، کروم (۴۳۱ ppm) در

جدول ۵- غلظت عناصر (ppm)، ماده آلی (٪)، کربنات (٪)، و ظرفیت تبادل کاتیونی (cmol⁽⁺⁾/kg) رسوبات

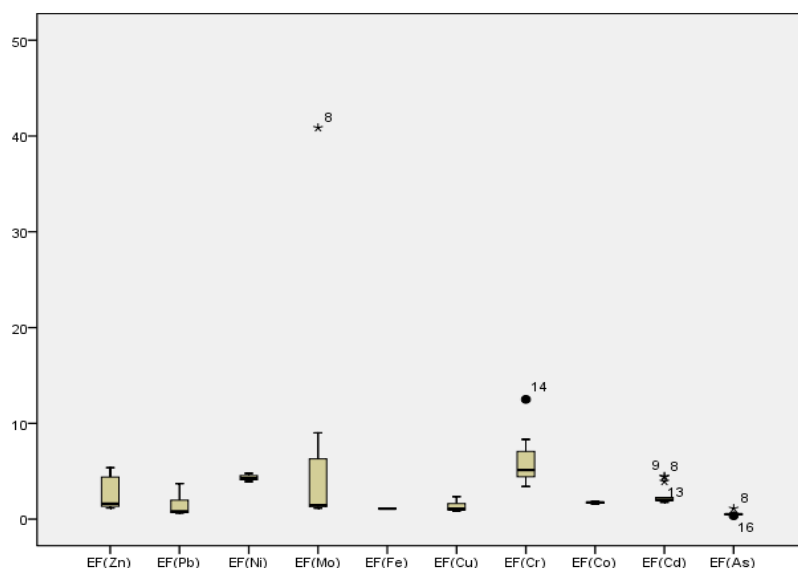
parameters	As	Cd	Co	Cr	Cu	Fe	Mn	Mo	Ni	Pb	Zn	ماده آلی	کربنات	CEC
Max.	3.4	0.50	16	431	47	25144	517	19.00	142	33	227	18.2	28.9	20.1
Min.	2.0	0.23	6	55	8	9417	320	1.24	52	5	24	4.8	12.7	9.1
Mean	2.56	0.26	12.28	228.4	21.72	19204	404	3.64	108	10.33	86.8	11.2	20.9	12.02
Median	2.6	0.25	13	192	20	21519	408	1.59	121	6	65	11.67	21.92	11.72
Kurtosis	0.61	6.39	2.91	1.67	0.21	4.61	0.72	6.08	3.52	0.49	-1.0	0.82	-0.37	2.89
Skewness	0.12	2.60	-1.49	0.93	0.79	-1.95	0.03	2.34	-1.57	1.34	0.81	0.38	-0.16	1.54
Standard deviation	0.62	0.08	3.64	154.4	10.96	5932	110	4.56	34.3	9.11	66.6	3.33	4.47	2.96
ERL	33	5	-	80	70	-	-	-	30	35	120	-	-	-
ERM	85	9	-	145	390	-	-	-	50	110	270	-	-	-

ضریب غنی‌شدگی

روی در بیشتر نمونه‌ها غنی‌شدگی متوسط تا شدید و سایر عناصر غنی‌شدگی ضعیف نشان می‌دهند. بیشینه غنی‌شدگی محاسبه شده مربوط به مولیبدن در نمونه S₈ با ضریب غنی‌شدگی ۴۰/۸۶ (غنی‌شدگی خیلی شدید) است. این نمونه در پایین‌دست محل تخلیه زهکش شهرک صنعتی قرار دارد.

در شکل ۵ ضریب غنی‌شدگی عناصر مورد مطالعه بر روی نمودار جعبه‌ای نشان داده شده است. میانگین مقادیر ضریب غنی‌شدگی فلزات سنگین در رسوبات Cr > Mo > Ni > Zn > Cd > Co > Pb > Cu > Fe > As براساس روند کاوشی زیر است: .

براساس رده‌بندی [19]، عناصر نیکل، کروم، مولیبدن و



شکل ۵- نمودار جعبه‌ای ضریب غنی‌شدگی نمونه‌های رسوب زهکش قره باع (*:داده‌های دورافتاده (outliers))

ضریب آلودگی و درجه آلودگی

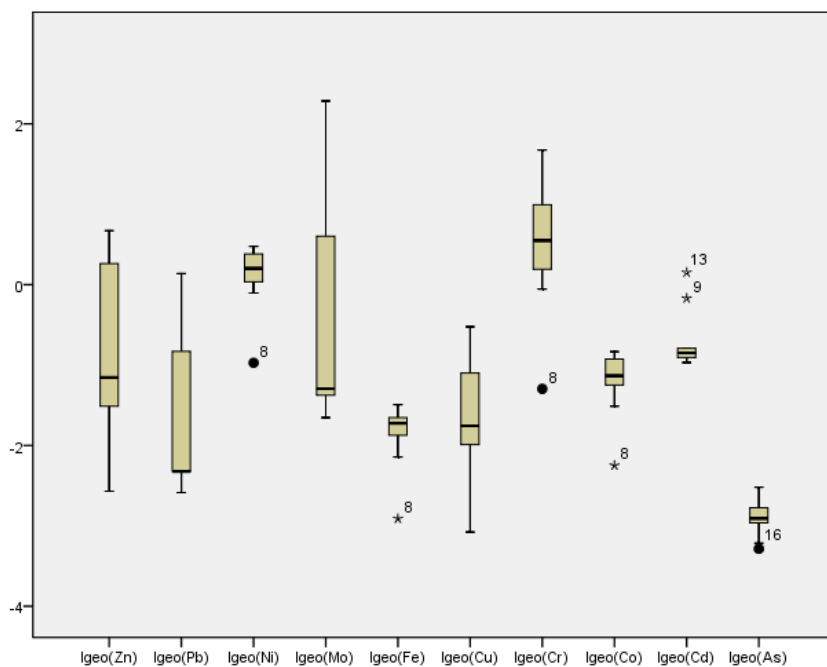
شکل ۷ ضریب آلودگی محاسبه شده برای عناصر را نشان می‌دهد. میانگین ضریب آلودگی فلزات سنگین در رسوبات براساس روند زیر کاهش می‌یابد:

$\text{Cr} > \text{Ni} > \text{Mo} > \text{Zn} > \text{Cd} > \text{Co} > \text{Pb} > \text{Cu} > \text{Fe}$
عناصر کروم، نیکل، مولیبدن، و روی در بیشتر نمونه‌ها آلودگی متوسط داشته و سایر عناصر در بیشتر نمونه‌ها در گروه غیرآلوده قرار می‌گیرند.

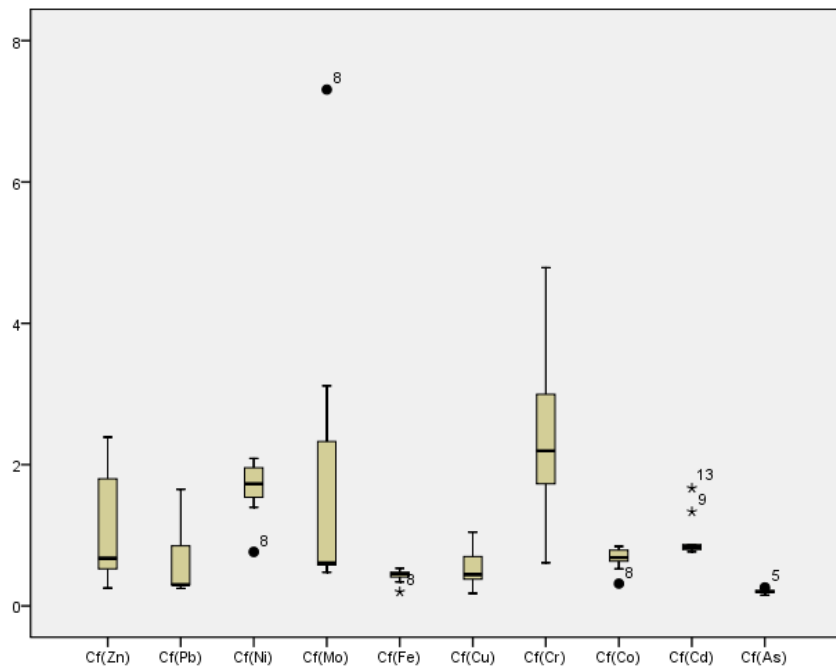
با وجود اینکه عصر سرب در بیشتر نمونه‌ها نآلوده است، اما در نمونه‌های S15 تا S13 آلودگی متوسط نشان می‌دهد. این نشان دهنده نقش ترافیک و رفت‌وآمد اتومبیل‌ها در محل پل فسا و پایین دست آن است. محاسبه درجه آلودگی نیز بر مبنای استاندارد شیل میانگین نشان‌گر درجه آلودگی متوسط رسوبات زهکش قره باع است.

در (شکل ۶) شاخص زمین‌انباست محاسبه شده برای عناصر نشان داده شده است. میانگین مقادیر شاخص زمین‌انباست فلزات سنگین در رسوبات روند کاهشی زیر را نشان می‌دهد:

$\text{Cr} > \text{Ni} > \text{Mo} > \text{Cd} > \text{Zn} > \text{Co} > \text{Cu} > \text{Pb} >$
براساس رده‌بندی مولر (Muller 1969)، تمام ایستگاه‌ها نسبت به عناصر آرسنیک، کبالت، مس، و آهن در رده نآلوده، ایستگاه S13 نسبت به کادمیم، کروم، و روی، ایستگاه S15 نسبت به سرب و روی، ایستگاه S10 نسبت به روی، ایستگاه S14 و S16 نسبت به روی و کروم و به میانگین ایستگاه S1 نسبت به کروم در رده نآلوده تا آلودگی متوسط قرار دارند. همچنین، تمام ایستگاه‌ها به جز S8 و S9 نسبت به نیکل و ایستگاه S7 و S12 نسبت به مولیبدن در رده نآلوده تا آلودگی متوسط قرار دارند. ایستگاه S8 نسبت به مولیبدن در رده آلودگی متوسط تا آلودگی بالا قرار دارد.



شکل ۶- نمودار جعبه‌ای شاخص زمین‌انباست نمونه‌های رسوب زهکش قره باع



شکل ۷- نمودار جعبه‌ای ضریب آلدگی نمونه‌های رسوب زهکش قره باع

نمونه‌ها غلظت‌هایی پایین‌تر از ERL دارند، در حالی که عنصر نیکل و کروم در همه نمونه‌ها غلظت‌هایی بالاتر از ERM دارند. در مورد عنصر روی، بعضی از نمونه‌ها غلظت‌هایی بین ERL و ERM نشان می‌دهند. در این ارتباط از عناصر کبالت و مولیبدن به دلیل نبود استاندارد لازم برای مقایسه، صرف نظر شد. بنابراین، عناصر نیکل، کروم (در بعضی از نمونه‌ها عنصر روی) می‌توانند اثر منفی بر بوم سامانه‌ها داشته باشند.

تحلیل آماری نمونه‌های رسوب

تحلیل آماری رسوبات زهکش قره باع با استفاده از ضریب همبستگی برای یافتن روابط بین عناصر و تحلیل مؤلفه اصلی به منظور تعیین منشأ عناصر (زمین‌زاد یا انسان‌زاد) انجام شد.

نتایج ضریب همبستگی نمونه‌های رسوب در (جدول ۶) ارائه شده است.

همبستگی مثبتی بین عنصر روی با سرب، مس، و کروم ($r>0.671$, $p<0.01$) وجود دارد. این چند عنصر در ایستگاه‌های نمونه‌برداری S14 و S15 (zechekش سلطان آباد و پایین دست آن) غلظت بالایی دارند و احتمالاً از یک منبع مشترک وارد زهکش شده‌اند.

ارزیابی بوم‌شناسخی فلزات سنگین در رسوبات

برای بررسی میزان خطر آلدگی فلزی رسوبات در زهکش قره باع از دیدگاه بوم سمندانسی (ecotoxicology)، نتایج به دست آمده با استانداردهای کیفیت رسوب (SQGs) مقایسه شد. این استانداردها که به گستره تأثیر میانی (Effects Range Median-ERM) و گستره تأثیر پایین (Effects Range Low-ERL) اشاره می‌کنند، مبنای منطقی برای ارزیابی شرایط کیفیت رسوب در بوم سامانه‌های آبی هستند.

ERL غلظتی را نشان می‌دهد که کمتر از آن احتمال مشاهده اثرات مضر وجود ندارد، در حالی که ERM غلظتی را توصیف می‌کند که بالاتر از آن، احتمال اثرات مضر توسط فلز وجود دارد (MacDonald et al. 2000). هدف اولیه استفاده از این استانداردها، حفظ آبیان از اثرات منفی ناشی از آلاینده‌های فلزی موجود در رسوبات، ردیابی و اولویت بخشیدن به مناطق آلدگی برای بررسی بیشتر، ارزیابی مکانی آلدگی رسوب، و برنامه‌های پایش مستقیم است (Farkas et al. 2007). مقایسه نتایج با ERL و ERM (جدول ۵) نشان می‌دهد که عناصر آرسنیک، کادمیم، مس، و سرب در تمام

آرسنیک و کادمیم با هیچکدام از عناصر همبستگی قوی ندارند. دلیل این امر غلظت نامتغير این دو عنصر در طول مسیر زهکش است.

انحراف از معیار پایین این دو عنصر (جدول ۵) نیز نشان دهنده این مطلب است.

مولیبدن با تمام عناصر همبستگی منفی دارد که ناشی از منشأ یا ویژگیهای زمین‌شیمیایی متفاوت این عنصر است.

همبستگی مثبتی بین آلومینینم با نیکل و کبالت ($r>0.913$, $p<0.01$) وجود دارد که احتمالاً به دلیل پتانسیل یونی مشابه این عناصر و قرار گرفتن آنها در گروه یونهای نامتحرك است.

همبستگی مثبت بین آهن و منگنز نیز با این عناصر ($r>0.604$, $p<0.05$) نشان دهنده حضور نیکل و کبالت به همراه اکسی-هیدروکسیدهای آهن و منگنز در رسوبات است.

جدول ۶- نتایج ضریب همبستگی بین عناصر و ماده آلی در نمونه‌های رسوب زهکش قره باغ

	%OM	Zn	Pb	Ni	Mo	Mn	Fe	Cu	Cr	Co	Cd	As	Al
Al	-0.224	0.562*	0.530*	0.913**	-0.542*	0.584*	0.950**	0.491**	0.350	0.921**	0.266	0.389	1
As	-0.034	-0.210	-0.177	0.538	-0.133	0.529*	0.582*	-0.800	-0.154	0.509*	-0.090	1	
Cd	0.097	0.405	0.464	0.087	-0.183	-0.036	0.301	0.499*	0.474	0.094	1		
Co	-0.268	0.438	0.372	0.965**	-0.405	0.604*	0.912**	0.570*	0.280	1			
Cr	-0.550*	0.671**	0.824**	0.143	-0.547*	0.390	0.288	0.704**	1				
Cu	-0.381	0.896**	0.928**	0.530*	-0.334	0.200	0.449	1					
Fe	-0.179	0.512*	0.481	0.918**	-0.458	0.584*	1						
Mn	-0.518*	0.130	0.200	0.477	-0.791**	1							
Mo	0.324	-0.227	-0.424	-0.303	1								
Ni	-0.134	0.395	0.318	1									
Pb	-0.366	0.905**	1										
Zn	-0.299	1											
%OM	1												

غلظت بیشینه دارد که نشان دهنده منشأ مشترک این عناصر است. این مؤلفه رامی توان مؤلفه انسانزاد در نظر گرفت.

مؤلفه ۳ (۹/۶٪ کل واریانس) شامل متغیرهای کادمیم و ماده آلی است که احتمالاً به دلیل نقش ماده آلی در کنترل غلظت کادمیم است.

هم چنین، کروم در مؤلفه ۱ نیز با بار مثبت متوسطی وجود دارد. اگرچه غلظت بالای کروم ناشی از فعالیتهای انسانزاد در منطقه است، اما بخشی از این آلودگی مربوط به سنگ بستر است.

سازند رازک دارای غلظت‌های بالایی از نیکل و کروم است (Salati & Moore 2010).

بنابراین، غلظت نیکل و کروم در ایستگاههای نمونه‌برداری می‌تواند بازتاب ترکیب زمین‌شیمیایی رسوبات باشد.

نتایج حاصل از تحلیل مؤلفه اصلی نمونه‌های رسوب (جدول ۷) نشان می‌دهد که کل متغیرها در ۳ مؤلفه اصلی قرار می‌گیرند.

این ۳ مؤلفه در مجموع ۸۵٪ از واریانس کل داده‌ها را دربر می‌گیرد.

براساس این نتایج، مؤلفه ۱ (۴/۵۵٪ کل واریانس) شامل متغیرهای آهن، آلومینینم، منگنز، نیکل، و کبالت است. همراهی نیکل و کبالت با عناصر آلومینینم، آهن، و منگنز می‌تواند نشان دهنده این باشد که غلظت این دو عنصر تحت تأثیر ترکیب سنگ بستر است.

بنابراین، این مؤلفه می‌تواند مؤلفه زمین‌زad در نظر گرفته شود.

مؤلفه ۲ (۹/۱۹٪ کل واریانس) شامل متغیرهای سرب، روی، مس، و کروم است. این متغیرها درپایین دست دست دست زهکش سلطان آباد

جدول ۷- نتایج تحلیل مؤلفه اصلی نمونه های رسوب زهکش قره باع

Component	1	2	3
Al	0.93	0.29	-0.06
As	0.53	-0.53	0.01
Cd	-0.08	0.37	0.66
Co	0.95	0.22	-0.02
Cr	0.58	0.70	-0.28
Cu	0.50	0.84	0.01
Fe	0.94	0.29	-0.03
Mn	0.85	-0.11	-0.33
Mo	-0.76	-0.27	0.25
Ni	0.94	0.19	0.09
Pb	0.08	0.95	0.01
Zn	0.32	0.91	0.06
OM%	-0.19	-0.36	0.83
Eigenvalue	7.20	2.59	1.25
Variance%	55.4	19.9	9.60
Cumulative%	55.4	75.4	84.9

عمل می کنند و پاکسازی و از بین بردن آنها ممکن است صد ها سال طول بکشد. بر این اساس و با توجه به تخلیه این زهکش در دریاچه مهارلو که دریاچه ای تفریحی و میزبان برخی از گونه های جانوری است، تدوین برنامه های مدیریتی ویژه برای کاهش آلدگی ضرورت دارد.

تشکر و قدردانی

نویسندها این مقاله لازم می دانند از مرکز پژوهشی زمین شناسی پژوهشگی، بنیاد ملی نخبگان به خاطر همکاری و معاونت پژوهشی دانشگاه شیراز که امکان انجام این پژوهش را فراهم آورده اند، تشکر و قدردانی کنند.

منابع

1-شاکری، ع. مُر، ف. مدبیری، س، (۱۳۹۰)، "اثرات زیست محیطی شهرک صنعتی بزرگ شیراز در رهاسازی فلزات سنگین به زهکش قره باع"، دومین کنفرانس ملی پژوهش های کاربردی منابع آب ایران، زنجان، ۸، ص.

2-Idris, A. M., (2008). "Combining multivariate statistical analysis and geochemical approaches for the assessment of the level of heavy metals in sediments from Sudanese harbors along the Red Sea coas". Microchemical Journal, 90(2), pp 159-163.

3-Heiri, O., Lotter, A. F., Lemcke, G., (2001). "Loss on ignition as a method for estimating organic and carbonate content in sediments: Reproducibility and comparability of results". Journal of Paleolimnology, 25, pp 101-110.

4- US EPA, (1998). "Test methods for evaluating solid waste." Method 9081 A, Washington, D. C.

نتیجه گیری

نتایج این مطالعه نشان می دهد که رسوبات زهکش قره باع به عنصر روى، مولیبدن، نیکل، کروم، و در بعضی ایستگاه ها، سرب آلدگی شده اند. منبع احتمالی عنصر روى و مولیبدن تخلیه پساب های شهرک صنعتی، آب برگشتی کشاورزی، و فاضلاب های شهری به درون زهکش قره باع است، اما غلطت بالای نیکل بازتابنده ترکیب زمین شیمیایی سنگ بستر است. اگرچه غلطت بالای کروم ناشی از فعالیتهای انسان زاد در منطقه است، اما بخشی از این آلدگی نیز مربوط به سنگ بستر است. همچنین، افزایش غلطت عنصر سرب در ایستگاه پل فسا و پایین دست آن، نشان دهنده نقش ترافیک و رفت و آمد وسایل نقلیه است. براساس نتایج ضریب غنی شدگی، شاخص زمین انباست، و ضریب آلدگی، عنصر روى، مولیبدن، نیکل، و کروم دارای آلدگی متوسط تا شدید هستند. همچنین، مقایسه غلطت فلزات سنگین با استاندارد کیفیت رسوب نشان می دهد که عنصر نیکل، کروم و در بعضی از نمونه ها عنصر روی می تواند اثر منفی بر بوم سامانه ها داشته باشد. غلطت عنصر در نمونه های آب زهکش قره باع پایین است و نمونه های آب تنها به عنصر مولیبدن آلدگی دارد. احتمالاً pH قلیایی آب زهکش، شرایط را برای تهی شدگی آب از عنصر و تجمع آنها در رسوبات، نسبتاً مطلوب کرده است. بنابراین، رسوبات زهکش قره باع به عنوان مخزنی برای این عنصر

- of the earth's crust". *Bulletin Geological Society of America*, 72, pp 175–192.
- 20-MacDonald, D. D., Ingersoll, C. G., Berger, T. A., (2000). "Development and evaluation of consensus-based sediment quality guidelines for freshwater ecosystems". *Journal of Environmental Contamination and Toxicology*, 39, pp 20-31.
- 21- Farkas, A., Erratico, C., Vigano, L., (2007). "Assessment of the environmental significance of heavy metal pollution in surficial sediments of River Po". *Chemosphere*, 68, pp 761-768.
- 22- Salati, S., Moore, F., (2010). "Assessment of heavy metal concentration in the Khoshk River water and sediment, Shiraz, Southwest Iran". *Journal of Environmental Monitoring and Assessment*, 164, pp 677-689.
- 5-Yongming, H., Peixuan, D., Junji, C., Posmentier, E. S., (2006). "Multivariate analysis of heavy metal contamination in urban dusts of Xi'an, Central China". *Journal of The Science of the Total Environment*, 355, pp 176–118.
- 6-Loska, K., Wiechula, D., (2003). "Application of principal component analysis for the estimation of sources of heavy metal contamination in surface sediments from the Rybnik Reservoir". *Chemosphere*, 51, pp 723–733.
- 7-Olivares-Riemont, S., de la Rosa, D., Lima, L., Graham, D. W., Alessandro, K. D., Borroto, J., Martinez, F., Sanchez, J., (2005). "Assessment of heavy metal levels in Almendares River sediments-Havana City, Cuba". *Journal of Water Res.*, 39, pp 3945–3953.
- 8-Eby, G. N., (2004). "Principle of environmental geochemistry". Thompson, 515 P.
- 18-Cevik, U., Celik, N., Celik, A., Damla, N. Coskuncelebi, K., (2009). "Radioactivity and heavy metal levels in hazelnut growing in the Eastern Black Sea Region of Turkey". *Journal of Food and Chemical Toxicology*, 47 (9), pp 2351-2355.
- 9-Acevedo-Figueroa, D., Jimenez, B. D., Rodriguez-Sierra, C. J., (2006). "Trace metals in sediments of two estuarine lagoons from Puerto Rico". *Journal of Environmental Pollution*, 141, pp 336–342.
- 10-Muller, G., (1969). "Index of geoaccumulation in sediments of the Rhine River". *GeoJournal*, 2, pp 108–118.
- 11-Stoffers, P., Glasby, G. P., Wilson, C. J., Davis, K. R., Watter, P., (1986). "Heavy metal pollution in Wellington Harbour, New Zealand". *Journal of Marine and Freshwater Research*, 20, pp 495–512.
- 12-Hakanson, L., (1980). "An ecological risk index for aquatic pollution control: A sedimentological approach". *Water Research*, 14(8), pp 975–1001.
- 13-Banerjee, U. S., Gupta, S., (2013). "Impact of industrial waste effluents on river Damodar adjacent to Durgapur industrial complex, West Bengal, India". *Journal of Environmental Monitoring and Assessment*, 185, pp 2083-2094.
- 14-Kabata-Pendias, A., Pendias, H., (2001). "Trace elements in soil and plants". 3rd ed., Boca Raton, FL: CRC, 432 P.
- 15-Pratt, P. F., (1972). "Quality criteria for trace elements in irrigation waters". California Agricultural Experiment Station, 46 P.
- 16-Chakrapani, G., (2002). "Water and sediment geochemistry of major Kumaun Himalayan lakes, India". *Journal of Environmental Geology*, 43, pp 99-107.
- 17-Rashed, M. N., Awadallah, R. M., Soltan, M. E., Hassan, S. M., (1995). "Interrelationship between major, minor and trace elements in Kalabsha wells and in High Dam Lake waters". *Journal of Environmental Science and Health*, 30, pp 2205–2219.
- 18-Suthar, S., Nema, A. K., Chabukdhara, M., Gupta, S. K., (2009). "Assessment of metals in water and sediments of Hindon River, India: Impact of industrial and urban discharges". *Journal of Hazardous Materials*, 171, pp 1088–1095.
- 19-Turekian, K. K., Wedepohl, K. H., 1961. "Distribution of the elements in some major units